

# ΣΥΜΒΟΛΗ ΤΩΝ ΟΡΥΚΤΟΛΟΓΙΚΩΝ ΚΟΚΚΟΜΕΤΡΙΚΩΝ ΚΑΙ ΓΕΩΧΗΜΙΚΩΝ ΧΑΡΑΚΤΗΡΙΣΤΙΚΩΝ ΔΕΛΤΑΙΚΩΝ ΑΠΟΘΕΣΕΩΝ ΣΤΗ ΣΥΓΚΕΝΤΡΩΣΗ $^{137}\text{Cs}$ ΣΤΟ ΙΖΗΜΑ\*

I. ΜΑΡΓΑΡΙΤΗΣ<sup>1</sup>

## ΣΥΝΟΨΗ

Στο παρόν άρθρο επιχειρείται μία ανασκόπηση των παραγόντων που επιδρούν στην προσδόφηση του  $^{137}\text{Cs}$  στα ίζηματα. Διερευνάται η συσχέτιση της προσδόφησης του  $^{137}\text{Cs}$  με τα ορυκτολογικά, κοκκομετρικά και γεωχημικά χαρακτηριστικά των ίζημάτων.

Επιπλέον παρουσιάζονται νέα στοιχεία για τη διακύμανση της ενεργότητας του ραδιονουκλιδίου σε σχέση με τα παραπάνω χαρακτηριστικά, όπως αυτά προκύπτουν από τη μελέτη των δελταικών αποθέσεων του ποταμού Αράχθου (Αμβρακικός κόλπος).

Τα συμπεράσματα της έρευνας είναι η ισχυρή συσχέτιση της συγκέντρωσης του  $^{137}\text{Cs}$  με τη λεπτόκοκκη φάση του ίζηματος, καθώς και με το ποσοστό του ίλλιτη. Η φθίνουσα σειρά συσχέτισης του  $^{137}\text{Cs}$  με τα ποσοστά των ορυκτοχημικών φάσεων των ίζημάτων είναι: ίλλιτης, σμεκτίτης, καιολινίτης + χλωρίτης, Fe, οργανικός άνθρακας, Mn.

## ABSTRACT

This paper provides a review of the factors governing  $^{137}\text{Cs}$  sorption in sediments. We have specially focused in the correlation between sorption and the sedimentological mineralogical and geochemical characteristics of the sediments.

Literature conclusions in experimental as well as field studies on  $^{137}\text{Cs}$  sorption is that  $^{137}\text{Cs}$  is strongly correlated with the < 20  $\mu\text{m}$  fraction of the sediment as well as illite content. Other clay minerals such as smectite, kaolinite and chlorite sorb  $^{137}\text{Cs}$  in a lesser degree. Furthermore organic material and Fe-Mn hydroxides, act like sorptive surfaces.

Our data on  $^{137}\text{Cs}$  activity variation based on field studies from deltaic deposits (Arachthos delta, Amvrakikos gulf, Greece) is also discussed.

The results of this studies confirm the above mentioned, since  $^{137}\text{Cs}$  activity is strongly correlated with the clay fraction and the illite content, while a lesser correlation is indicated for total organic carbon Fe and Mn content of the sediments.

**ΑΞΕΙΣ ΚΑΕΙΔΙΑ:**  $^{137}\text{Cs}$ , αργιλικά ορυκτά, Αμβρακικός κόλπος, δέλτα Αράχθου, ορμός Κορπαίνης

**KEY WORDS:**  $^{137}\text{Cs}$ , clay minerals, Amvrakikos gulf, Arachthos delta, Copraina bay, Greece.

## I. ΕΙΣΑΓΩΓΗ

Η προσδόφηση του  $^{137}\text{Cs}$  σε ίζηματα και εδάφη ανάγεται στην αλληλεπίδραση μεταξύ ρευστής (νερό των πόδων, θαλασσινό νερό) και στερεάς φάσης (επιφάνειες αργιλικών ορυκτών, οργανικής ύλης, οξειδίων Fe-Mn κ.λ.π.). Ο μηχανισμός της προσδόφησης ιόντων γενικά, βασίζεται σε δυνάμεις μοριακής (van der Waals), και ηλεκτροστατικής έλξης (Wicker and Schultz, 1982).

Ως μέτρο της τάσης προσδόφησης των ραδιονουκλιδίων σε στερεές επιφάνειες έχει εισαχθεί ο συντελεστής συγκέντρωσης Kd που ορίζεται ως ο λόγος της ενεργότητας ενός ραδιονουκλιδίου στη στερεά φάση, πρός την ενεργότητα στη ρευστή φάση:

Kd =  $A_{(s)} / A_{(l)}$ . Ο συντελεστής κατανομής Kd υποδηλώνει την επίτευξη μίας ισορροπίας κατά την μετακίνηση ενός ραδιονουκλιδίου μεταξύ ρευστής και στερεάς φάσης στη μονάδα του χρόνου. Η ισορροπία αυτή και εν τέλει ο βαθμός προσδόφησης, εξαρτάται από πλήθος παραγόντων μεταξύ των οποίων, η χημεία και ορυκτολογία

\* CONTRIBUTION OF MINERALOGICAL, SEDIMENTOLOGICAL AND GEOCHEMICAL CHARACTERISTICS OF DELTAIC DEPOSITS IN THE  $^{137}\text{Cs}$  SEDIMENTATION SYSTEM "Θερμόφραστος" - Τμήμα Γεωλογίας. Α.Π.Θ.

1. Πανεπιστήμιο Αθηνών, Εργαστήριο Αρχαιομετρίας, Ι.Ε.Υ., ΕΚΕΦΕ "Δημόκριτος", Αγία Παρασκευή, 15310 Αθήνα

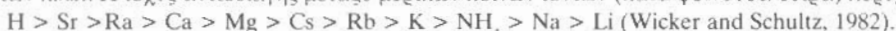
των επιφανειών προσδρόφησης, τα φυσικά χαρακτηριστικά των σωματιδίων που λειτουργούν ως επιφάνειες προσδρόφησης (διάμετρος σωματιδίων, αριθμός σωματιδίων ανά μονάδα μάζας, συνολική επιφάνεια, ολικό φρούτο και κατανομή του φρούτου, κ.ο.κ.).

Επιπλέον οι μεταβολές στη συγκέντρωση ενός ραδιονουκλιδίου στη ρευστή φάση επηρεάζουν τον Kd κατά αντίστροφα ανάλογο τρόπο (Duursma, 1976).

Ο βαθμός προσδρόφησης του  $^{137}\text{Cs}$  εξαρτάται επίσης από τις φυσικοχημικές ιδιότητες, τις χημικές μετατροπές και την αρχική συγκέντρωση του ραδιονουκλιδίου (Zheleznyak et al. 1992; Konoplev et al. 1992). Περαιτέρω η ραδιενεργός διάσπαση οδηγεί στην αυξήση των σωματιδίων που βρίσκονται σε επαφή με τη ρευστή φάση, αυξάνοντας τις ποσότητες του ραδιονουκλιδίου που εισάγεται στη ρευστή φάση μέσω διάχυσης (Konoplev et al. 1992).

Ο μηχανισμός προσδρόφησης του  $^{137}\text{Cs}$  είναι κατά κύριο λόγο μιά διαδικασία ανταλλαγής μεταξύ ιόντων, και σε μικρότερο βαθμό μεταξύ των ισοτόπων του (Duursma and Eisma 1973; Wicker and Schultz, 1982). Ο όρος δυναμικό ανταλλαγής κατιύντων CEC (cation exchange capacity), περιγράφει την σχετική ικανότητα των στερεών επιφανειών να προσφέρουν και να διατηρούν κατιόντα και εκφράζεται σε meq/100g.

Ο όρος αντικαθιστά πολλές φορές (ως πιο δύκιμος) τον συντελεστή συγκέντρωσης Kd όταν πρόκειται να περιγράψουμε το μηχανισμό της προσδρόφησης. Η ιοντοανταλλαγή εξαρτάται από τη συγκέντρωση, το φρούτο των ιόντων κ.λ.π. Η ισχύς ανταλλαγής μεταξύ μερικών κοινών ιόντων (κατά φθίνοντα σειρά) περιγράφεται ως:



Ωστόσο αυτή η γενική σειρά δυνατών να διαταράσσεται δύος δηλώνοντων πειραματικά δεδομένα (Staunton and Roubaud 1997; Eberl 1980) που αφορούν στον μηχανισμό προσδρόφησης  $^{137}\text{Cs}$  στον ίλλιτη και μοντμοριόλιτη, αντίστοιχα:  $\text{Cs} > \text{K} > \text{Na} > \text{Ca}$  και  $\text{Cs} > \text{K} > \text{Ca} > \text{Na}$ .

Ο μηχανισμός της προσδρόφησης του  $^{137}\text{Cs}$  σε στερεές επιφάνειες έχει μελετηθεί κυρίως γιά τις αργιλούς και έχουν προταθεί διάφορα μοντέλα που έχουν προκύψει τόσο από πειραματικά αποτελέσματα δύο και από έρευνες φυσικού πεδίου.

Οι περισσότεροι ερευνητές σήμερα δέχονται μία ισχυρότερη προσδρόφηση του  $^{137}\text{Cs}$  στους μαρμαρυγίες (και ειδικά τον ίλλιτη), σε σχέση με άλλα αργιλικά ορυκτά.

Οι θέσεις εκλεκτικής προσδρόφησης του ίλλιτη βρίσκονται στις πλάγιες έδρες των επιπέδων φύλλωσης (frayed edge sites) και αφορούν το 1% του ολικού CEC (Poinssot et al. 1999; Comans and Hockley 1992; Brouwer et al. 1983). Οι θέσεις των επιφανειών των επιπέδων φύλλωσης (planar sites) έχουν σαφώς μικρότερο δυναμικό προσδρόφησης όσο αφορά το  $^{137}\text{Cs}$  (Staunton and Roubaud 1997). Επίσης πειραματικά αποτελέσματα (Tamura and Jacobs 1960 ; Eberl 1980) δείχνουν την εξής φθίνοντα ένταση προσδρόφησης του  $^{137}\text{Cs}$  σε διάφορα αργιλικά ορυκτά ίλλιτης > καολινίτης > μοντμοριόλιτης > mixed layer βιοτίτη/βερμικούλιτη.

Το  $^{137}\text{Cs}$  εμφανίζει γενικά θετική συσχέτιση με τη λεπτόκοκκη φάση του ίζηματος ( $d < 20 \mu\text{m}$ ), καθώς επίσης με τα αργιλικά ορυκτά (ειδικά τον ίλλιτη), το ποσοστό οργανικής υλής και τη συγκέντρωση (υδροξύ) οξειδίων Fe-Mn (Rank et al. 1987; Amano et al. 1999; Yasuda et al. 1995; Barnes et al. 1987).

Πρέπει να τονιστεί ότι το ποσοστό  $^{137}\text{Cs}$  που προσφέρονται στις παραπάνω επιφάνειες υπόκειται σε μία διαδικασία εκρόφησης, διάχυσης - επαναδιάλυσης και επαναπροσδρόφησης σε έκταση που καθορίζεται από τα ορυκτοχημικά χαρακτηριστικά και τις φυσικοχημικές παραμέτρους του συστήματος δύος θερμοκρασίας, αλιτότητα, pH, κ.λ.π. (Hilton et al. 1993; Meili and Worman 1996; Smith and Comans 1996).

Τα αποτελέσματα της δικής μας έρευνας, τα οποία αφορούν στη συσχέτιση της ενεργότητας του  $^{137}\text{Cs}$  με τα ορυκτοχημικά - κοκκομετρικά χαρακτηριστικά δελταικών αποθέσεων του ποταμού Αραχθου, συγκρίνονται με της διεθνούς βιβλιογραφίας.

## 2. ΥΑΙΚΑ ΚΑΙ ΜΕΘΟΔΟΙ

Πραγματοποιήθηκαν δειγματοληψίες επιφανειακών ίζημάτων (0-5cm) από την περιοχή του όρμου Κοπραίνης-δέλτα Αραχθου. Οι δειγματοληψίες έγιναν το διάστημα καλοκαιριού - φθινόπωρο 1999 και κάλυπταν μία περιοχή  $20\text{km}^2$ . Ο καθορισμός του στίγματος έγινε με φορητό διαφορικό GPS. Το βάθος νερού (max = 45m) μετρήθηκε με βυθόμετρο της Navyonics. Η περιοχή έρευνας παρουσιάζεται στα σχήματα 1 και 2.

Συνολικά αναλύθηκαν 24 δείγματα ίζηματος (ολικό δεύτημα). Πραγματοποιήθηκαν ίζηματολογικές, ορυκτολογικές (περιθλασμετρία ακτίνων -x), γεωχημικές (φασματοφωτομετρία ακτίνων -x) αναλύσεις και αναλύσεις φασματοσκοπίας - γ. Επίσης μετρήθηκε το ποσοστό ολικού οργανικού άνθρακα (μέθοδος Gaudette et al. 1974). Αναλυτικά έγιναν οι εξής αναλύσεις:

Υγρή κοσκίνιση γιά το διαχωρισμό της άμμου ( $>63\mu\text{m}$ ) από την ίλινάργυλο ( $<63\mu\text{m}$ ).

Το κλάσμα  $<63\mu\text{m}$  αναλύθηκε με Sedigraph 5100. Τα αποτελέσματα υποδεικνύουν τρεις ευρύτερες περιοχές όπου κυριαρχούν αντίστοιχα αργιλικά ορυκτά: Βιβλιοθήκη "Θεόφραστος", Τμήμα Γεωλογίας Α.Π.Θ. περιοχές με βάση τη μέση

διάμετρο κόκκων προσδιορίζονται ως εξής: από την ακτογραμμή έως την ισοβαθή των 5m (125-300 μμ), από 5 έως 20m (8-125 μμ) και από 20 έως 45m (2-8 μμ).

Η ανάλυση φασματοφωτομετρίας έγινε με με το σύστημα Philips PW-2400, διόδου 3 KWRh και ανιχνευτή NaI. Το δόγανο για επίπεδο αξιοπιστίας μέτρησης 95%, παρουσιάζει σταθερές απόκλισης για το μεν σύδηρο  $\pm$  0.02%, για το δε μαγγάνιο  $\pm$  3.8ppm.

Τα στοιχεία Fe, Mn παρουσιάζουν αντίστοιχα συγκεντρώσεις 0.8 - 7% και 200-800ppm. Οι υψηλότερες συγκεντρώσεις σχετίζονται με τα λεπτόκοκκα ίζηματα των βαθύερων σημείων της λεκάνης.

Οι αναλύσεις φασματοσκοπίας -γ - έγιναν με ανιχνευτή HpGe σχετικής απόδοσης 20% ως προς ανιχνευτή NaI 3x3 (inch) και διακριτική ικανότητα 2.0 KeV στα 1.33 MeV. Το στατιστικό σφάλμα των μετρήσεων (1σ) είναι της τάξης του 18%. Η ενεργότητα του  $^{137}\text{Cs}$  κυμαίνεται μεταξύ 1 και 22.5 Bq/kg για τις άμμους και τις ιλαράγιλους αντίστοιχα.

Οι αναλύσεις οργανικού άνθρακα έγιναν με τη μέθοδο Gaudette (οξείδωση της οργανικής ύλης με  $\text{K}_2\text{Cr}_2\text{O}_7$  1 N). Ο οργανικός άνθρακας εμφανίζει τιμές 0.2-2.6%. Παρατηρείται αύξηση της συγκέντρωσης στα πιο λεπτόκοκκα δείγματα του ίζηματος.

Οι αναλύσεις περιθλασμετρίας έγιναν με RIGAKU D/MAX B SYSTEM, με λυχνία CU<sub>ka</sub> 40 KV, 20 mA και μιονοχρωμάτωρα γραφίτη. Οι συνθήκες της μέτρησης ήταν, ταχύτητα περιστροφής γωνιομέτρου 1°/min στο διάστημα 2-50° 20. Για την ημιποσοτική ανάλυση των ορυκτών φάσεων χρησιμοποιήθηκε η μέθοδος RIR (Post and Bish 1989).

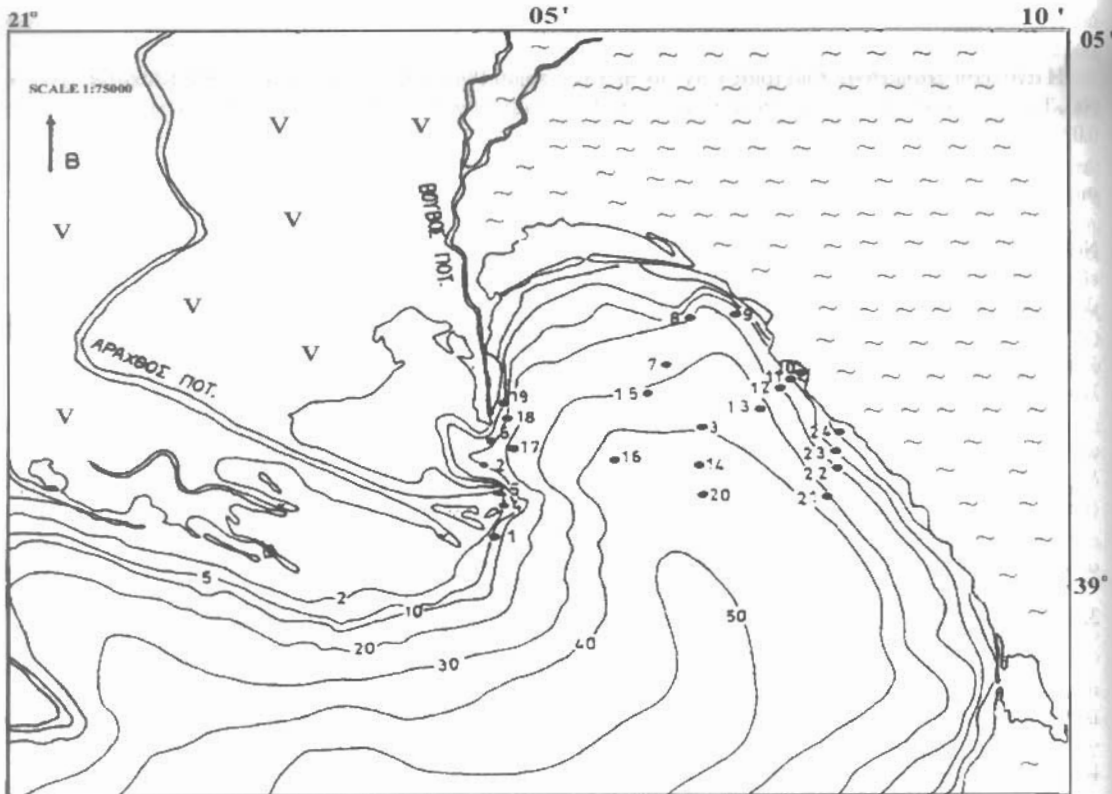
Τα ποσοστά του ίλλιτη, σμεκτίτη και καολινίτη + χλωρίτη, είναι αντίστοιχα 3-45%, 2-8% και 2-18%. Βάσει αυτών των ποσοστών κατασκευάστηκαν οι χάρτες κατανομής των ορυκτών οι οποίοι παρουσιάζονται στο Σχήμα 3.

### 3. ΑΠΟΤΕΛΕΣΜΑΤΑ - ΣΥΖΗΤΗΣΗ

Τα ίζηματα της δειγματοληψίας ανήκουν ως επί το πλείστον στην κατηγορία των ίλυαργίλων. Τα αποτελέσματα των κοκκομετρικών αναλύσεων έδειξαν ότι σε βάθη 20-30 m η μέση τιμή των ποσοστών άμμου, ίλιος, αγμού, αντιπροσωπεύεται από την ακολουθία: 10%, 50%, 40%. Στα βάθη 30-45 m αυτά τα ποσοστά γίνονται αντίστοιχα: 1%, 44%, 55%. Ιζηματα της κατηγορίας λεπτής-μέσης άμμου και λύπτου περιφερειακά την λεκάνη του Όρμου Κοπραίνης-Δέλτα Αραχθου έως την ισοβαθή των 5 m με αντίστοιχα ποσοστά 60%, 30%, 10%. Η μετρούμενη ενεργότητα του  $^{137}\text{Cs}$  (μέση τιμή για τις προαναφερθείσες περιοχές αντίστοιχα, 6.2, 14.4 και 1 Bq/kg), σχετίζεται με την κοκκομετρική διαβάθμιση. Ο λόγος της ισχυρότερης προσδρόμησης του  $^{137}\text{Cs}$  στα λεπτόκοκκα ίζηματα, είναι όπως προαναφέρθηκε, η μεγαλύτερη επιφάνεια που αντιπροσωπεύουν αυτά. Ενδεικτικές τιμές επιφάνειας αναφέρονται (Wicker and Schultz 1982) για την χονδρή άμμο, λεπτή άμμο, ίλιο και άργιλο, αντίστοιχα 23, 91, 454 και  $8 \times 10^{-6} \text{ cm}^2/\text{g}$ . Αυτή η σχέση προσδροφητικής ικανότητας του  $^{137}\text{Cs}$  και κοκκομετρικών χαρακτηριστικών αντανακλάται και στο συντελεστή συσχέτισης (correlation coefficient) μεταξύ της ενεργότητας και του μέσου μεγέθους κόκκων  $M_z$  ( $r = 0.75$ ).

Η ανάλυση περιθλασμετρίας ακτίνων -x ανέδειξε ως κύριες φάσεις αργιλικών ορυκτών τα ορυκτά ίλλιτης, σμεκτίτης, καολινίτης + χλωρίτης. Ως διαγνωστικές ανακλάσεις (2θ) χρησιμοποιήθηκαν αντίστοιχα οι 8.89, 19.7, 6.24. Η ανάλυση του ολικού δείγματος των ίζημάτων δεν επιτυγχάνει τον σαφή διαχωρισμό των φάσεων καολινίτη-χλωρίτη και αυτός είναι ο λόγος για τον οποίο τις εξετάζουμε ως μίγμα.

Τα αποτελέσματα της ημιποσοτικής ορυκτολογικής ανάλυσης RIR παρουσιάζονται με τη μορφή χαρτών κατανομής ίλλιτη, σμεκτίτη και καολινίτη + χλωρίτη στο Σχήμα 3. Παρατηρούμε ότι η επικρατούσα φάση είναι ο ίλλιτης (3-45%), ακολουθεί ο καο-λινίτης + χλωρίτης (2-18%) και ο σμεκτίτης (< 2% έως 8%). Η επικράτηση του ίλλιτη έναντι των άλλων φάσεων καθίσταται σαφής στα ίζηματα του προ-Δέλτα (βάθος νερού > 20m). Οι συντελεστές συσχέτισης μεταξύ της συγκέντρωσης του  $^{137}\text{Cs}$  και των ποσοστών των αργιλικών ορυκτών προέκυψαν για τον ίλλιτη, σμεκτίτη, καολινίτη + χλωρίτη αντίστοιχα 0.72, 0.66 και 0.63. Ωστόσο το γεγονός ότι η ημιποσοτική ορυκτολογική ανάλυση εμφανίζει ένα σφάλμα  $\approx 10\%$ , σε συνδυασμό με το γεγονός ότι οι τιμές των παραπάνω συντελεστών συσχέτισης παρουσιάζουν διαφορές επίσης της τάξης του 10%, δεν επιτρέπει την εξαγωγή ασφαλών συμπερασμάτων δύο αφορά το σχε-τικό βαθμό συσχέτισης των μεγεθών. Η φθίνουσα σειρά των τιμών των συντελεστών συσχέτισης για τους ίλλιτη, σμεκτίτη, καολινίτη + χλωρίτη, εισάγει έναν προβληματισμό δεδομένου ότι αυτή η παρατήρηση βρίσκεται σε συμφωνία με πειραματικά αποτελέσματα άλλων ερευνών (Tamura and Jacobs 1960; Eberl 1980). Για την επιβεβαίωση της ισχυρότερης συσχέτισης  $^{137}\text{Cs}$ -ίλλιτη απαιτείται περαιτέρω έρευνα (ποσο-τική ανάλυση του αργιλικού κλάσματος). Όπως ήδη αναφέρθηκε η σχέση αυτή πρέπει να αναζητηθεί στην εκλεκτική προσδρόμηση του  $^{137}\text{Cs}$  στις πλάγιες έδρες των επιπέδων φύλλωσης του ίλλιτη (Staunton and Roubaud 1997; Eberl, 1980). Επίσης η αντικατάσταση του  $\text{K}^+$  (στοιχείο σε αφθονία στον ίλλιτη) από το  $\text{Cs}^+$  οδηγεί σε εμπλουτισμό του ίλλιτη με το στοιχείο  $\text{Cs}^+$  (Poinssot et al. 1999; Comans and Hockley 1992). Παρόμια Ψηφιακή Βιβλιοθήκη "Θεόφραστος" | Τμήμα Φεωλόγιας Α.Π.Θη στα εδάφη γεωργικής



Σχήμα 1: Γεωλογικός χάρτης όρους Κοπραινής-Δέλτα Άραχθου

Figure 1: Geological map of Coprainia bay-Arachthos delta

~ Φλυσχης (fysch) V Δελταικές αποθέσεις (Deltaic deposits)

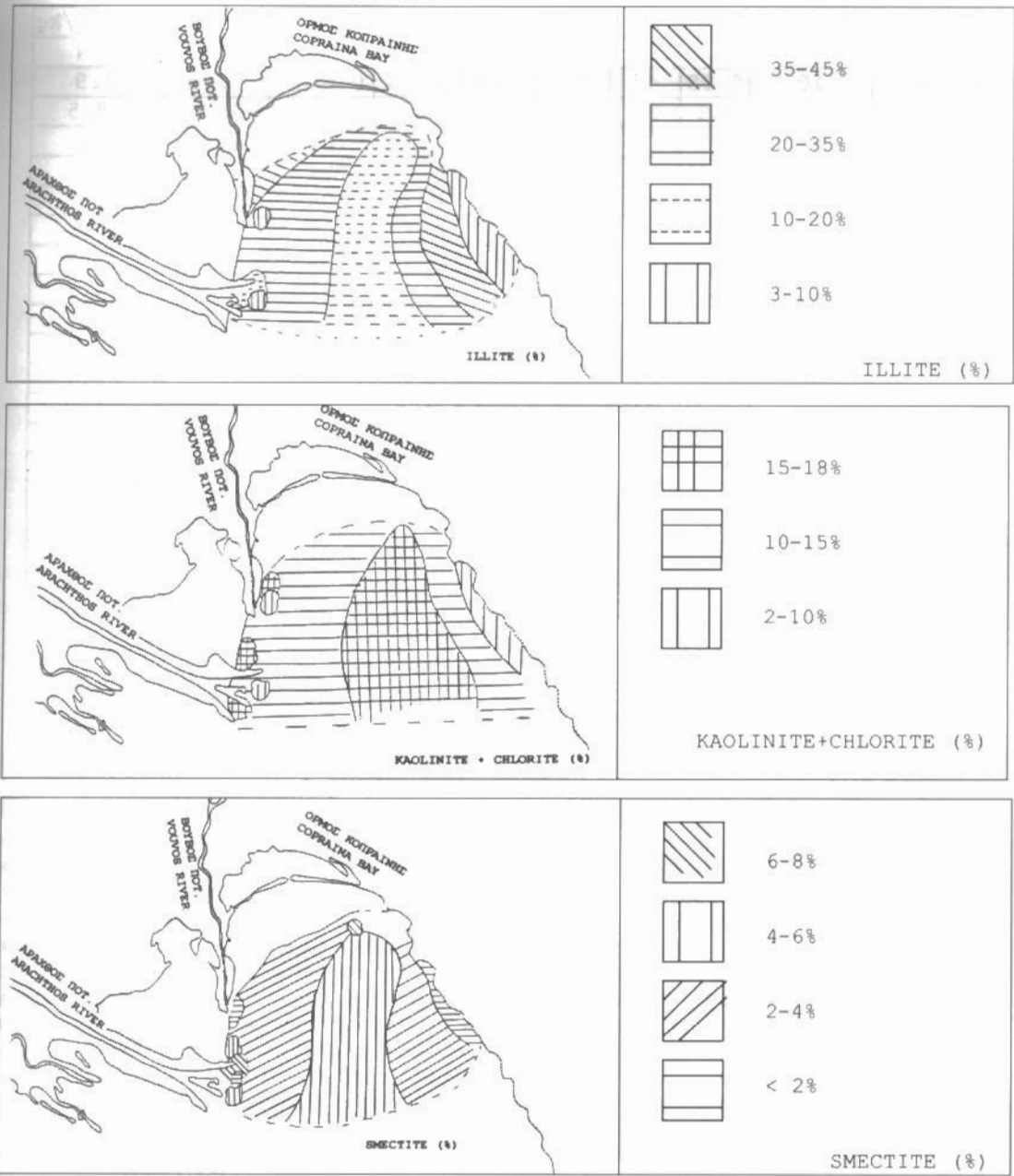
• Σταθμοί δειγματοληψίας (Sampling stations)

- 20 - Ισοβαθείς καμπύλες (Isobath lines)



Σχήμα 2: Χάρτης της Ελλάδας (με το βέλος σημειώνεται η περιοχή έρευνας).

Ψηφιακή Βιβλιοθήκη Θεοφραστού Τμήμα Τεχνολογίας Α.Π.Θ.



Σχήμα 3: Χάρτες κατανομής ποσοστών των αργιλικών ορυκτών  
Figure 3: Maps of clay minerals distribution

χρήσης (Cremers et al. 1989) και επομένως και στα εδάφη της πεδιάδας της Άρτας. Ως συνεπακόλουθο η μεταφορά σωματιδιακού υλικού των εδαφών της πεδιάδας Άρτας μέσω της ροής του Άραχθου στην μελετηθείσα θαλάσσια περιοχή, εξ' αιτίας αυτής της αντικατάστασης, αναμένεται να έχει ως αποτέλεσμα τον εμπλουτισμό των ιζημάτων σε Cs<sup>+</sup> και την αύξηση της συγκέντρωσης του <sup>137</sup>Cs.

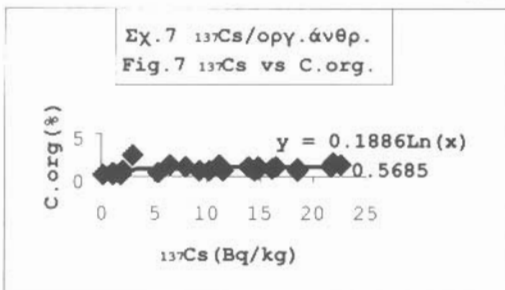
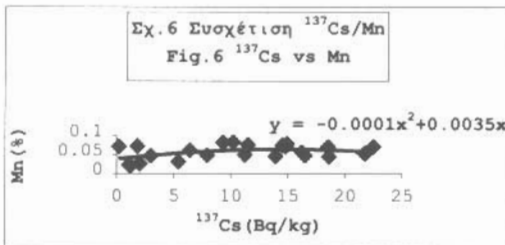
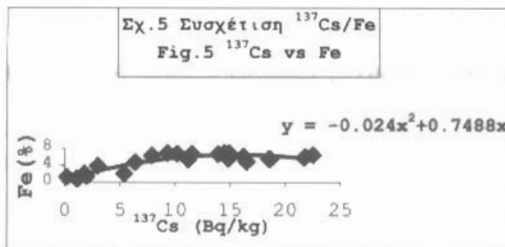
Όσο αφορά την σχέση της ενεργότητας του <sup>137</sup>Cs με τις συγκεντρώσεις Fe και Mn των ιζημάτων, οι συντελεστές συσχέτισης είναι αντίστοιχα 0.45 και 0.15. Η μέθοδος ελαχίστων τετραγώνων έδειξε ότι οι άριστες καμπύλες αντιπροσωπεύουν την έννοια βαθύτητας (Εικόνα 5a). Όπως έχει ήδη επισημανθεί

Σταθμός	Βάθος m	Iz	Il%	ē+ch%	sm%	Fe%	Mn%	c.org%	$^{137}\text{CsBq/kg}$
1	5	7.22	23.3	9.3	2.6	4.68	0.0617	1.38	6.4
2	10	8.28	43	17	5.4	6.33	0.0477	1.11	7.9
3	40	9.1	32	16.7	9.2	5.53	0.0713	0.96	18.5
4	2	1.89	2.5	2	0	1.28	0.0711	0.25	0.2
5	2	4.24	6	3.4	0	2.03	0.0717	0.19	0.9
6	10	7.91	29	10.3	4.4	5.38	0.0497	1.35	11.2
7	30	9.13	7.4	17.1	5.2	6.44	0.0711	1.28	22.5
8	20	8.72	6.7	14.6	7	6.01	0.0548	1.62	21.8
9	10	8.57	45.8	16.4	5.6	6.06	0.0562	0.93	16.2
10	5	3.82	4.2	2.5	0	0.87	0.0201	0.27	1.2
11	10	5.43	11	3.8	2.7	2.08	0.0309	0.48	5.4
12	20	9.52	26	18	8.4	5.72	0.0532	1.19	21.7
13	30	10.2	36	12.2	7.1	6.8	0.0788	0.86	14.9
14	40	9.43	30.7	11.8	10.2	6.73	0.0835	0.77	10.2
15	30	9.97	31	13	8.4	6.69	0.0755	0.77	11.5
16	40	9.4	35.1	13.5	7.1	5.57	0.0706	1.03	14.8
17	20	9.63	40	8.8	7.6	6.6	0.0452	1.25	13.9
18	10	6.43	7.2	5	4.8	3.81	0.0473	2.59	3
19	5	8.63	29.3	5.8	5.1	5.41	0.0446	0.76	18.6
20	40	9.51	26.8	12.4	9.1	6.81	0.0814	0.67	9.3
21	30	10.3	38	12.4	8.2	6.91	0.0747	0.76	14.5
22	20	8.52	15.4	7.7	6	4.79	0.0468	1.14	16.5
23	10	4	5.7	3.7	3.3	1.34	0.0267	0.6	2
24	5	2.75	5	3.5	0	0.87	0.0229	0.39	1.1

Σχήμα 4: Αποτελέσματα των αναλύσεων. Iz = ιλλίτης, sm = σμεκτίτης, k+ch = καολινίτης+χλωρίτης  
 Figure 4: Results of analyses. Iz = illite, sm = smectite, k+ch = kaolinite+chlorite

(Rank et al. 1987; Barnes et al. 1987) τα (υδροξεν)-οξειδία Fe και Mn λειτουργούν ως επιφάνειες προσδρόφησης του  $^{137}\text{Cs}$ . Η παρούσα μελέτη δεν επεκτάθηκε στον υπόλογισμό των συγκεντρώσεων αυτών των οξειδίων, χρησιμοποιώντας τις συγκεντρώσεις Fe και Mn ως δυνητικούς δείκτες αυτών. Η υπόθεση ότι τα αναλυθέντα δείγματα ιζήματος βρίσκονται εντός οξικού περιβάλλοντος - και επομένως οι αναφενόμενες φάσεις Fe και Mn αντιπροσωπεύνονται κυρίως από οξειδία αυτών - ενισχύεται από τα αποτελέσματα των αναλύσεων οργανικού άνθρακα. Συγκεκριμένα οι μετρηθείσες τιμές οργανικού άνθρακα (0.2-2.6%), βρίσκονται εντός του προτεινόμενου φάσματος τιμών χαρακτηριστικού για οξικά περιβάλλοντα (Duursma 1976). Ωστόσο η ασθενής συσχέτιση μεταξύ  $^{137}\text{Cs}$  και Mn, εισάγει έναν προβληματισμό όσο αφορά την οξική ή ανοξική κατάσταση του περιβάλλοντος μελέτης. Το Mn ως πιο ευαίσθητο από το Fe στις μεταβολές του δυναμικού οξειδοαναγωγής, μετακινείται από το επιφανειακό ίζημα είτα πρός βαθύτερα σημεία της ιζηματογενούς στήλης είτε πρός την στήλη του θαλάσσιου νερού (Duursma, 1976). Ως αποτέλεσμα της διαλυτοποίησης των οξειδίων Mn εξ' αιτίας μεταβολών στο δυναμικό οξειδοαναγωγής, το  $^{137}\text{Cs}$  που συνδέεται με αυτά υπόκειται σε επαναύρηση στη στήλη του θαλάσσιου νερού. Η έκταση αυτού του φαινομένου και η επίτιμηση που έχει στη συγκεντρώση του  $^{137}\text{Cs}$  στα ιζήματα, διαφεύγεται από τους στόχους της παρούσας μελέτης. Πάντως η σημασία πιθανής εποχιακής ανοξίας (ειδικά τους καλοκαιρινούς μήνες όπου παρατηρείται σημαντική περιοδική) στην επαναύρηση του  $^{137}\text{Cs}$ , δεν πρέπει να υποβαθμίζεται.

Ο συντελεστής συσχέτισης μεταξύ της συγκεντρώσης  $^{137}\text{Cs}$  και του ποσοστού ολικού οργανικού άνθρακα ( $\tau = 0.26$ ) υποδηλώνει ένα βαθμό συσχέτισης ενδιάμεσο του Fe και Mn. Από την ανάλυση παλινδρόμησης (Σχήμα 7) παίρνουμε την πληροφορία ότι η άρι-στη καμπτούλη αντιπροσωπεύεται από λογαριθμική συνάρτηση. Η τιμή του συντελεστή συσχέτισης για τον οργανικό άνθρακα συγχρονόμενη με εκείνες των αργιλικών ορυκτών προκύπτει αισθητά μικρότερη. Υπενθυμίζεται η αβεβαιότητα στην εκτίμηση αυτής της στατιστικής παραμέτρου γιά τα αργιλικά ορυκτά, ωστόσο εισάγεται και πάλι ένας προβληματισμός προς περιεπέρα διερεύνηση. Πάντως η παραπάνω υπόθεση βαύποταν περιορισμένη στην περιοχή της Κύπρου, πειραματικών ερευνών



(Cremers 1988; Konoplev et al. 1992) που αφορούν στη συγκριτική ισχύ προσδόφησης του  $^{137}\text{Cs}$  σε αργιλίους και οργανική ύλη εδαφών και λιμναίων ιζημάτων. Οι λόγοι πρέπει να αναζητηθούν στην αδυναμία δημιουργίας σταθερών δεσμών και σύμπλοκων ενώσεων μεταξύ  $^{137}\text{Cs}$  και φυσικής οργανικής ύλης (π.χ. χουμικών).

Ως γενικό σημείο σαμα της έρευνάς μας η σχέση που εκδηλώνεται μεταξύ της συγκέντρωσης  $^{137}\text{Cs}$  και των ορυκτοχημικών - κοκκομετρικών χαρακτηριστικών των δελταικών αποθέσεων του ποταμού Αραχθου, είναι ανάλογη με εκείνη εδαφών, λιμναίων ιζημάτων και ιζημάτων βαθιάς θάλασσας τα οποία αποτέλεσαν αντικείμενο μελέτης παλαιότερων ερευνών. Η ισχυρότερη συσχέτιση της συγκέντρωσης του  $^{137}\text{Cs}$  συνδέεται με τη λεπτόκοκκη φάση του ιζηματος. Η φθίνουσα σειρά συσχέτισης του  $^{137}\text{Cs}$  με τα ποσοστά των χημικών φάσεων των ιζημάτων είναι: Fe %, οργανικός άνθρωπος % και Mn %.

## ΒΙΒΛΙΟΓΡΑΦΙΑ

- AMANO H., MATSUNAGA T., NAGAO S., HANZAWA Y., WATANABE M., UENO T., ONUMA Y., (1999) The transfer capability of long-lived Chernobyl radionuclides from surface soil to river water in dissolved forms. *Organic Geochemistry*, v.30, pp. 437-442.
- BARNES C.J., BURCH G.J., BARLING R.D., GRAYSON R.G., MOORE I.D.,(1987). Use of  $^{7}\text{Be}$  and  $^{137}\text{Cs}$  for Sourcing Sediments in Catchment Studies of Erosion and Deposition: A Modelling Application. IAEA. Proc. Symp., Isotope Techniques in Water Resources Development, Vienna. (30 March-3 April 1987), pp. 701-703.
- BROUWER E., BAEYENS B., MAES A., CREMERS A.,(1983). Cesium and rubidium ion equilibria in illite clay. *J. Phys. Chem.* 87: 1213-1219.
- COMANS R.N.J., MIDDELBURG J., ZONDERHUIS J., WOITTEZ R., DE LANGE G., DAS H., VAN DE WEIJDEN H., (1989). Mobilization of radiocaesium in porewater of lake sediments. *Nature*. Vol.339, 367-369.
- COMANS R.N.J., Hockley D.E.,(1992).Kinetics of caesium sorption on illite. *Geochim. Cosmochim. Acta* 56, 1157-1164.

- CREMERS A., ELSEN A., DE PRETER P., MAES A.,(1988).Quantitative analysis of radiocaesium retention in soils, *Nature*, Vol.335, 247-249.
- DUURSMA E.K., (1976).*Radioactive Tracers in Estuarine Studies*. Edited by Burton J.D., and Liss P.S., In: *Estuarine Chemistry*, Academic Press.
- DUURSMA E.K., EISMA D.,(1973). Theoretical Experimental and Field Studies Concerning Reactions of Radioisotopes with Sediments and Suspended Particles of the Sea, Part C: Applications to Field Studies. *Netherlands Journal of Sea Research*, 6(3): 265-324.
- EBERL D.D., (1980). Alkali selectivity and fixation by clay minerals, *Clays and Clay Minerals*, Vol.28, No.3, pp.161-172.
- GAUDETTE H.E., FLIGHT W., TONES L., FOLGER D.,(1974). An inexpensive titration method for the determination of organic carbon in recent sediments. *J. Sed.Petrol.* **44**, pp. 249-253.
- HILTON J., LIVENS F.R., SPEZZANO P., LEONARD D.R.P., (1993). Retention of radioactive caesium by different soils in the catchment of a small lake, *The Science of the Total Environment*, **129**, 253-266.
- KONOPLEV A.V., BULGAKOV A.A., POPOV V.E., BOBOVNIKOVA T.I.(1992).Behaviour of long-lived Chernobyl radionuclides in a soil-water system.*Analyst* **117**,1041- 1047.
- IEILI M., WORMAN A.,(1996) Desorption and diffusion of episodic pollutants in sediments: a 3-phase model applied to Chernobyl <sup>137</sup>Cs. *Applied Geochemistry*, Vol.11, Issue 1-2, pp. 311-316.
- POINSSOT C., BAEYENS B., BRADBURY M.H., (1999). Experimental and Modelling Studies of Caesium Sorption on Illite, *Geochimica et Cosmochimica Acta*, Vol. **63**, NO. 19/20, 3217-3227.
- POST J.E., BISH D.L.,(1989). *Modern Powder Diffraction*. Rewviews in Mineralogy, Vol.20, Mineralogical Society of America.
- RANK D., KRALIK M., AUGUSTIN-GYURITS K., MARINGER F., RAJNER V., KURCZ I., (1987). *Investigation of Sediment Transport in the Austrian Part of the Danube Using Environmental Isotopes*, IAEA. Proc. Symp., Isotope Techniques in Water Resources Development, Vienna, 30 March-3 April 1987, 637-646.
- SMITH J.T., COMANS R.N.J. (1996). Modelling the Diffusive Transport and Remobilisation of <sup>137</sup>Cs in Sediments: The Effects of Sorption Kinetics and Reversibility. *Geochimica et Cosmochimica Acta*, Vol. **60**, No. 6, 995-1004.
- STAUNTON S. ROUBAUD M.,(1997). Adsorption of <sup>137</sup>Cs on montmorillonite and illite: effect of charge compensating cation, ionic strength, concentration of Cs, K and fulvic acid, *Clays and Clay Minerals*, Vol. **45**, No.2, 251-260.
- TAMURA T., JACOBS D.G., (1960). Structural implications in cesium sorption. *Health Physics*. **2**, 391-398.
- WHICKER F.W., SCHULTZ V., (1982). *Radioecology: Nuclear Energy and the Environment*, Vol. II, CRC Press, Inc. pp. 228.
- YASUDA H., UCHIDA S., MURAMATSU Y., YOSHIDA S.,(1995) Sorption of manganese, cobalt, zinc, strontium and cesium onto agricultural soils: Statistical analysis on effects of soil properties. *Water, Air, and Soil Pollution*, **83**: 85-96.
- ZHELEZNYAK M., DEMCHENKO R., KHURSIN S., KUZMENKO Y., TKALICH P., VITIUK N., (1992). Mathematical Modeling of Radionuclide Dispersion in the Pripyat-Dnieper Aquatic System after the Chernobyl Accident. *The Science of the Total Environment*, Vol. **112**, 89-114.